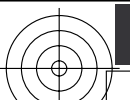
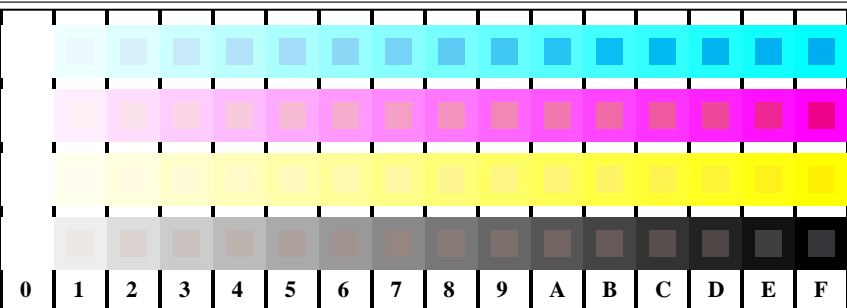


v L o Y M C
 http://130.149.60.45/~farbmefrik/TS97/TS97L0NP.PDF /PS; comience salida
 N: ninguna 3D-linealización (OL) en archivo (F) o PS-startup (S), página 1/22



vea archivos semejantes: http://130.149.60.45/~farbmefrik/TS97/TS97.HTML
 información técnica: http://www.ps.bam.de o http://130.149.60.45/~farbmefrik

TS971-1, Fig. B4W-: 16 equidistant pasos W-C₀; W-M₀; W-Y₀; W-N₀; *rgb/cmyk0 set(rgb/cmyk)color*

+-.:	lmno	lmno	pqrs	tuvw	tuvw
xyz;	hijk	hijk	lmno	pqrs	pqrs
tuvw	defg	defg	hijk	lmno	lmno
pqrs	!abc	!abc	hijk	defg	defg
lmno	+-.:	+-.:	xyz;	tuvw	tuvw
hijk	xyz;	xyz;	tuvw	defg	defg
defg	tuvw	tuvw	defg	!abc	!abc
!abc	defg	defg	pqrs	N C_M_Y_Z	N C_M_Y_Z
10	N C_M_Y_Z	N C_M_Y_Z	8	6	4

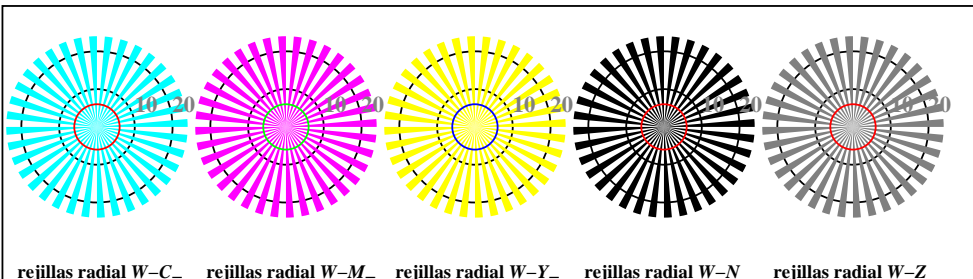
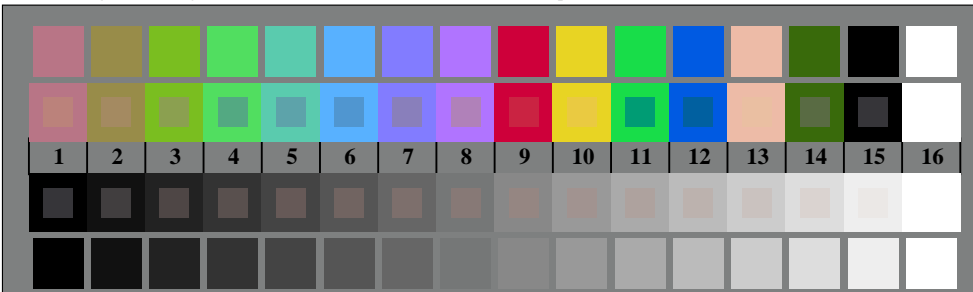
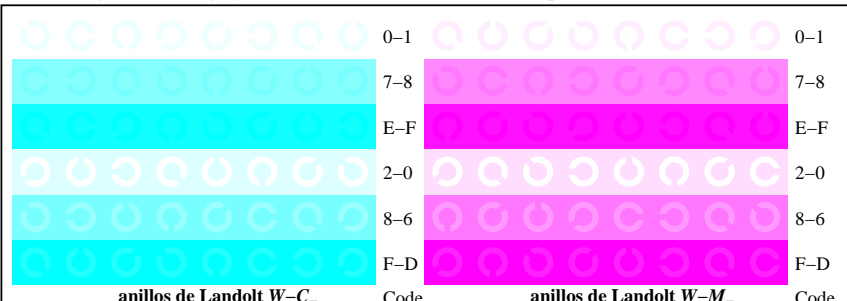
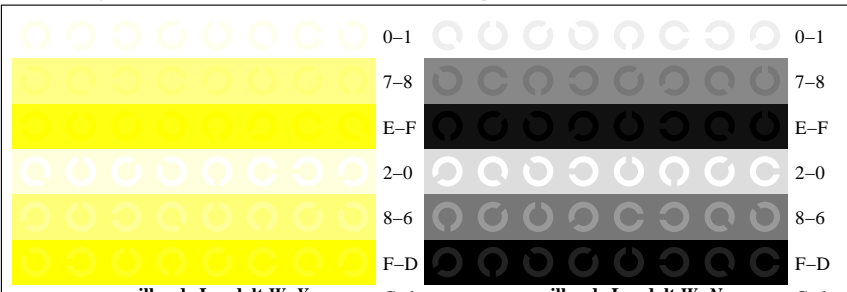
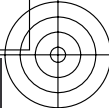
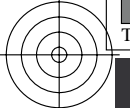
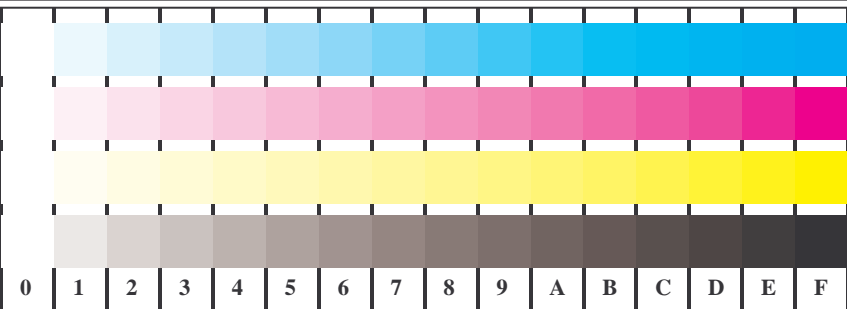
TS971-3, Fig. B5W-: código y Landolt anillos N; C₀; M₀; Y₀; Z; PS operator: *rgb setrgbcolor*TS970-5, Fig. B2W-: rejillas radial W-C₀; W-M₀; W-Y₀; W-N₀; PS operator: *rgb setrgbcolor*TS970-7, Fig. B3W-: CIE 14 colores del test y 2 + 16 pasos de gris (sf); PS operator: *rgb/cmyk0 set(rgb/cmyk)color*

gráfico TS97; 2(ISO/IEC 15775 + ISO/IEC TR 24705)
 test cromático gráfico CMY

TS971-5, Fig. B6W-: anillos de Landolt W-C₀; W-M₀; PS operator: *rgb setrgbcolor*TS971-7, Fig. B7W-: anillos de Landolt W-Y₀; W-N₀; PS operator: *rgb setrgbcolor*

entrada: *rgb/cmyk* → *w/rgb/cmyk*
 salida: ningún cambio





+-.:	0	1	2	3	4	5	6	7	8	9	A	B	C	D	E	F
xyz;	lmno	lmno	lmno	lmno	lmno	lmno	lmno	lmno	lmno	lmno	pqrs	pqrs	pqrs	pqrs	tuvw	tuvw
tuvw	hijk	hijk	hijk	hijk	hijk	hijk	hijk	hijk	hijk	hijk	lmno	lmno	lmno	lmno	hijk	hijk
pqrs	defg	defg	defg	defg	defg	defg	defg	defg	defg	defg	lmno	lmno	lmno	lmno	defg	defg
lmno	!abc	!abc	!abc	!abc	!abc	!abc	!abc	!abc	!abc	!abc	xyz;	xyz;	xyz;	xyz;	defg	defg
hijk	tuvw	tuvw	tuvw	tuvw	tuvw	tuvw	tuvw	tuvw	tuvw	tuvw	!abc	!abc	!abc	!abc	!abc	!abc
defg	pqrs	pqrs	pqrs	pqrs	pqrs	pqrs	pqrs	pqrs	pqrs	pqrs	N C_d M_d Y_d Z	6	8			
!abc	10	N C_d M_d Y_d Z														

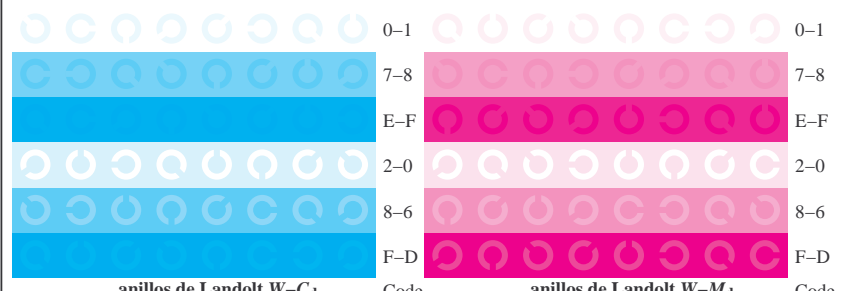
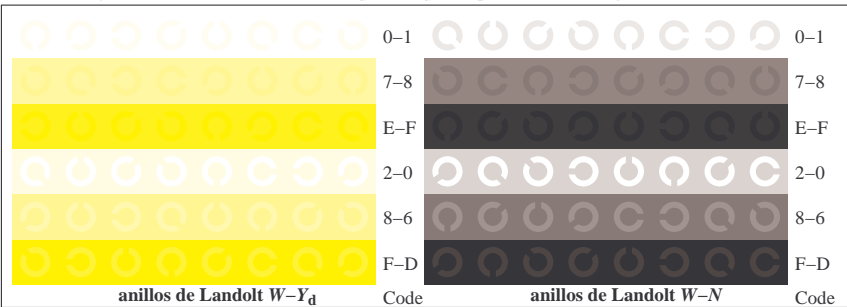
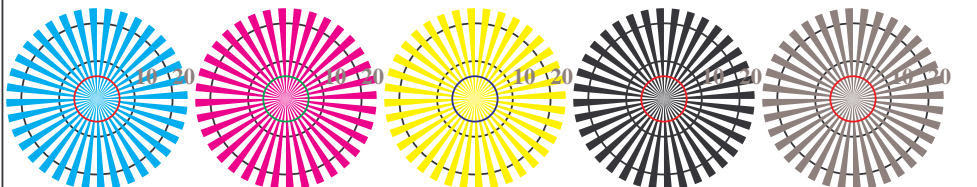
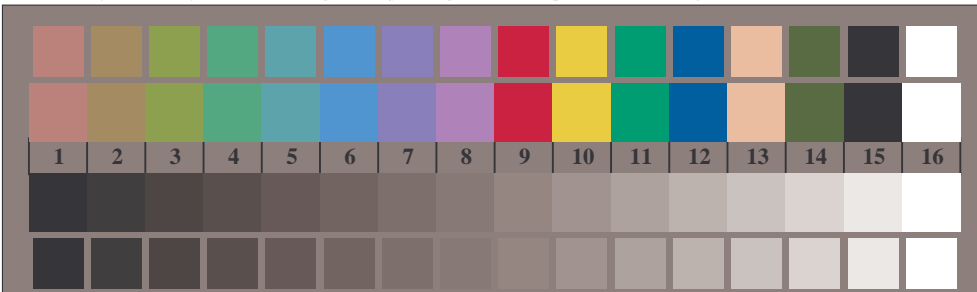
TS971-3, Fig. B5Wd: código y Landolt anillos N; C_d ; M_d ; Y_d ; Z ; PS operator: $rgb \rightarrow rgb_d$ setrgbcolorTS971-5, Fig. B6Wd: anillos de Landolt $W-C_d$; $W-M_d$; PS operator: $rgb \rightarrow rgb_d$ setrgbcolorTS971-7, Fig. B7Wd: anillos de Landolt $W-Y_d$; $W-N$; PS operator: $rgb \rightarrow rgb_d$ setrgbcolorTS970-5, Fig. B2Wd: rejillas radial $W-C_d$; $W-M_d$; $W-Y_d$; $W-N$; PS operator: $rgb \rightarrow rgb_d$ setrgbcolorTS970-7, Fig. B3Wd: CIE 14 colores del test y 2 + 16 pasos de gris (sf); PS operator: $rgb/cmy0 \rightarrow rgb_d$ setrgbcolor

gráfico TS97; 2(ISO/IEC 15775 + ISO/IEC TR 24705)
test cromático gráfico CMY, 3D=0, de=0, cmy0

entrada: $rgb/cmyk \rightarrow rgb_d$
salida: transfiera a $cmy0_d$

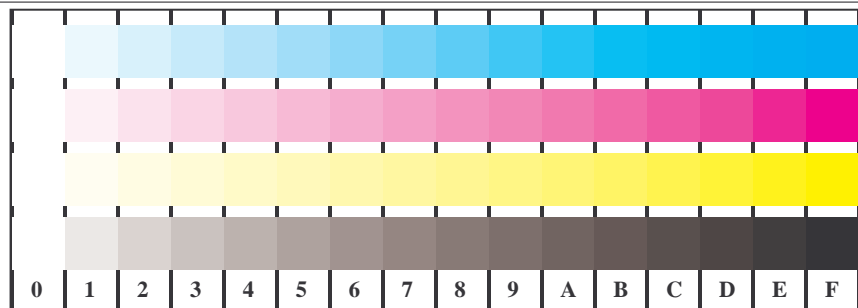


vea archivos semejantes: <http://130.149.60.45/~farbmefrik/TS97/TS97.HTML>
 información técnica: <http://www.ps.bam.de> o <http://130.149.60.45/~farbmefrik>



TUB matrícula: 20150701-**TS97/TS97L0NP.PDF /PS**
 aplicación para la medida salida en la impresión offset, separación cmy0 (CMY0)

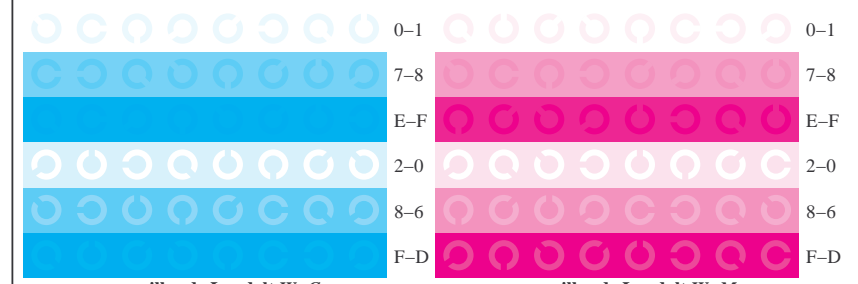
TUB material: code=rha4ta



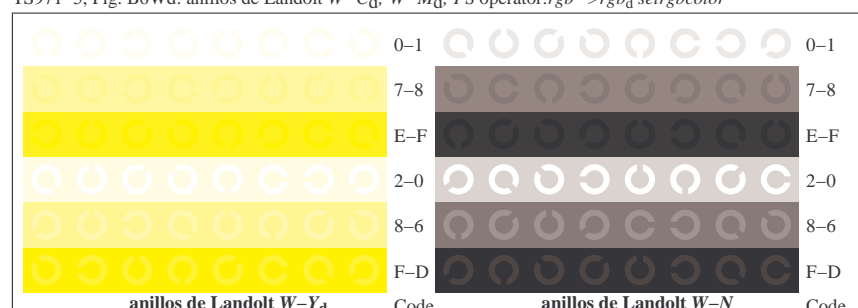
TS971-1, Fig. B4Wd: 16 equidistant pasos $W-C_d$; $W-M_d$; $W-Y_d$; $W-N$; $rgb/cmy0 \rightarrow rgb_d$ setrgbcolor

+:-.	○	○	○	○	○	lmno	○	○	○	○	pqrs	○	○	○	○	tuvw
xyz;	○	○	○	○	○	hijk	○	○	○	○	lmno	○	○	○	○	pars
tuvw	○	○	○	○	○	defg	○	○	○	○	hijk	○	○	○	○	lmno
pqrs	○	○	○	○	○	!abc	○	○	○	○	defg	○	○	○	○	hijk
lmno	○	○	○	○	○	+-:.	○	○	○	○	xyz;	○	○	○	○	defg
hijk	○	○	○	○	○	tuvw	○	○	○	○	!abc	○	○	○	○	xyz;
defg	○	○	○	○	○	pqrs	○	○	○	○	lmno	○	○	○	○	tuvw
!abc	○	○	○	○	○	10	N	C_d	M_d	Y_d	Z	○	○	○	○	defg

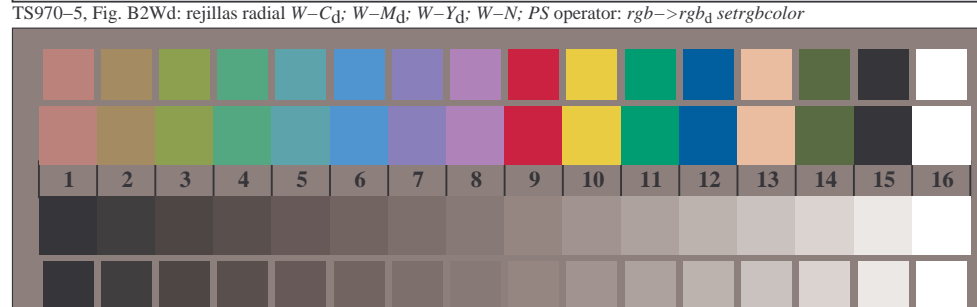
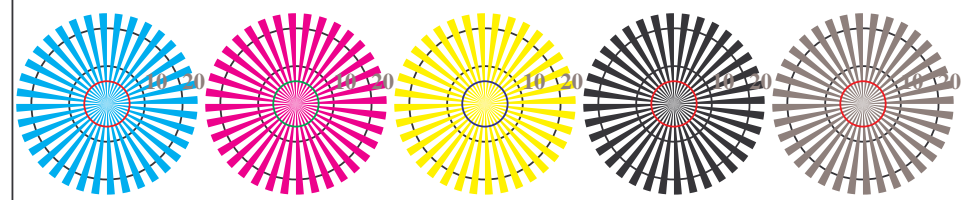
TS971-3, Fig. B5Wd: código y Landolt anillos N ; C_d ; M_d ; Y_d ; Z ; PS operator: $rgb \rightarrow rgb_d$ setrgbcolor



TS971-5, Fig. B6Wd: anillos de Landolt $W-C_d$; $W-M_d$; PS operator: $rgb \rightarrow rgb_d$ setrgbcolor



TS971-7, Fig. B7Wd: anillos de Landolt $W-Y_d$; $W-N$; PS operator: $rgb \rightarrow rgb_d$ setrgbcolor



TS970-7, Fig. B3Wd: CIE 14 colores del test y 2 + 16 pasos de gris (sf); PS operator: $rgb/cmy0 \rightarrow rgb_d$ setrgbcolor

gráfico TS97; 2(ISO/IEC 15775 + ISO/IEC TR 24705)
 test cromático gráfico CMY, 3D=0, de=0, cmy0

2-003231-F0

entrada: $rgb/cmyk \rightarrow rgb_d$
 salida: transfiera a $cmy0_d$



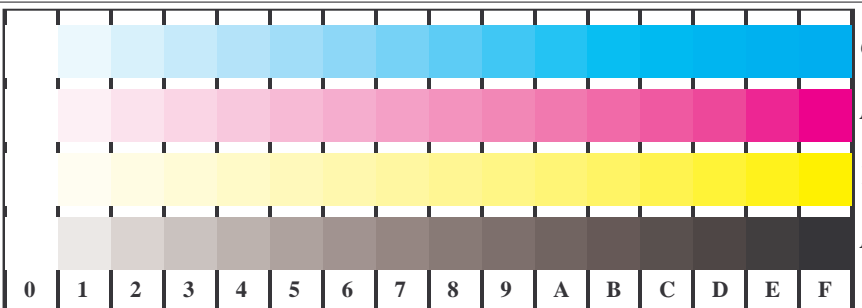


vea archivos semejantes: <http://130.149.60.45/~farbmefrik/TS97/TS97.HTML>
 información técnica: <http://www.ps.bam.de> o <http://130.149.60.45/~farbmefrik>



TUB matrícula: 20150701-**TS97/TS97L0NP.PDF /PS**
 aplicación para la medida salida en la impresión offset, separación cmy0 (CMY0)

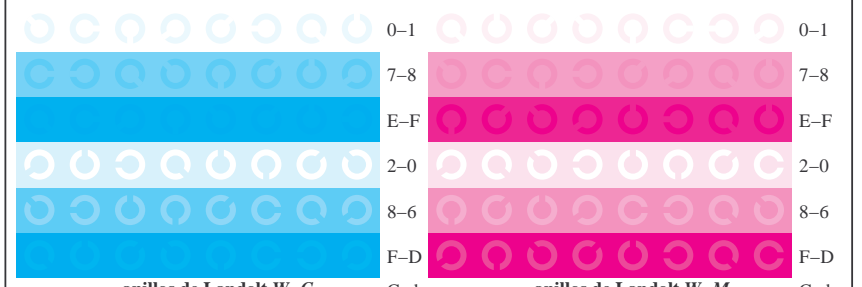
TUB material: code=rha4ta



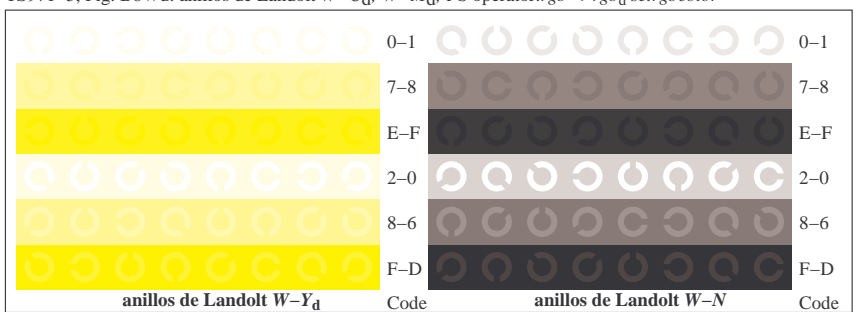
TS971-1, Fig. B4Wd: 16 equidistant pasos $W-C_d$; $W-M_d$; $W-Y_d$; $W-N$; $rgb/cmy0 \rightarrow rgb_d$ setrgbcolor

+:-.	○	○	○	○	○	lmno	○	○	○	○	pqrs	○	○	○	○	tuvw
xyz;	○	○	○	○	○	hijk	○	○	○	○	lmno	○	○	○	○	pars
tuvw	○	○	○	○	○	defg	○	○	○	○	hijk	○	○	○	○	lmno
pqrs	○	○	○	○	○	!abc	○	○	○	○	defg	○	○	○	○	hijk
lmno	○	○	○	○	○	+-:.	○	○	○	○	xyz;	○	○	○	○	defg
hijk	○	○	○	○	○	tuvw	○	○	○	○	!abc	○	○	○	○	xyz;
defg	○	○	○	○	○	pqrs	○	○	○	○	lmno	○	○	○	○	tuvw
!abc	○	○	○	○	○	10	N	C_d	M_d	Y_d	Z	○	○	○	○	defg

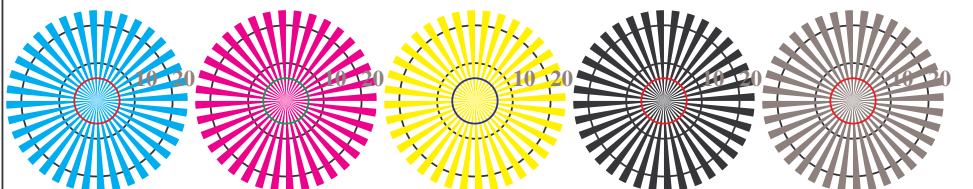
TS971-3, Fig. B5Wd: código y Landolt anillos N ; C_d ; M_d ; Y_d ; Z ; PS operator: $rgb \rightarrow rgb_d$ setrgbcolor



TS971-5, Fig. B6Wd: anillos de Landolt $W-C_d$; $W-M_d$; PS operator: $rgb \rightarrow rgb_d$ setrgbcolor

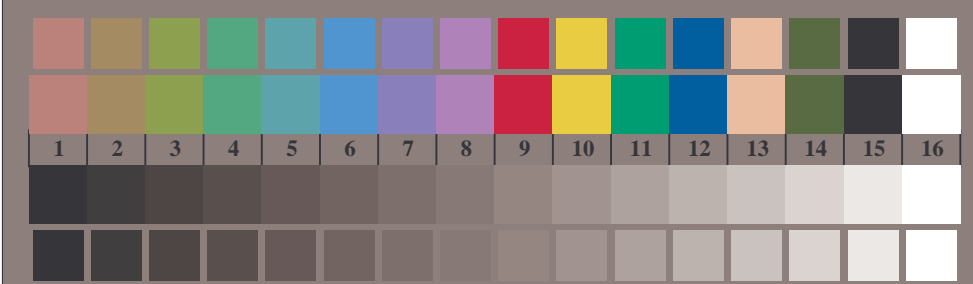


TS971-7, Fig. B7Wd: anillos de Landolt $W-Y_d$; $W-N$; PS operator: $rgb \rightarrow rgb_d$ setrgbcolor



rejillas radial $W-C_d$ rejillas radial $W-M_d$ rejillas radial $W-Y_d$ rejillas radial $W-N$ rejillas radial $W-Z$

TS970-5, Fig. B2Wd: rejillas radial $W-C_d$; $W-M_d$; $W-Y_d$; $W-N$; PS operator: $rgb \rightarrow rgb_d$ setrgbcolor



TS970-7, Fig. B3Wd: CIE 14 colores del test y 2 + 16 pasos de gris (sf); PS operator: $rgb/cmy0 \rightarrow rgb_d$ setrgbcolor

gráfico TS97; 2(ISO/IEC 15775 + ISO/IEC TR 24705)
 test cromático gráfico CMY, 3D=0, de=0, cmy0

2-003331-F0

entrada: $rgb/cmyk \rightarrow rgb_d$
 salida: transfiera a $cmy0_d$



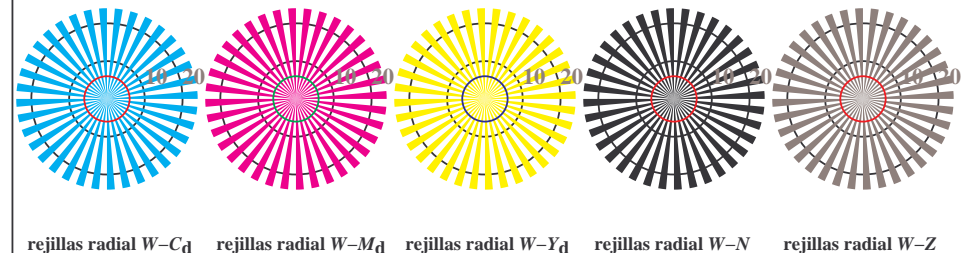


vea archivos semejantes: <http://130.149.60.45/~farbmefrik/TS97/TS97.HTML>
 información técnica: <http://www.ps.bam.de> o <http://130.149.60.45/~farbmefrik>

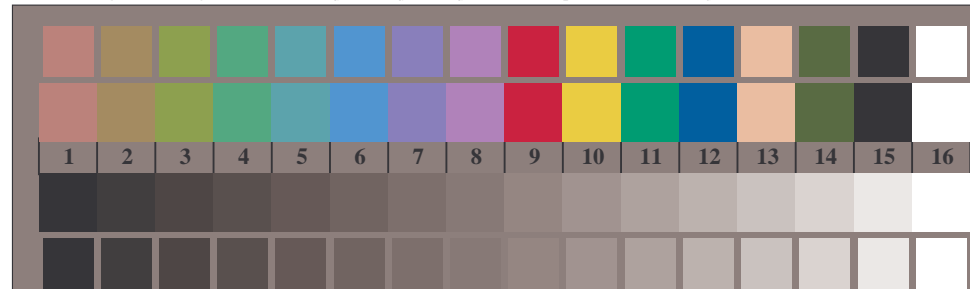


TUB matrícula: 20150701-TS97/TS97L0NP.PDF /PS
 aplicación para la medida salida en la impresión offset, separación cmy0 (CMY0)

TUB material: code=rha4ta



TS970-5, Fig. B2Wd: rejillas radial W-Cd; W-Md; W-Yd; W-N; PS operator: $rgb \rightarrow rgb_d$ setrgbcolor



TS970-7, Fig. B3Wd: CIE 14 colores del test y 2 + 16 pasos de gris (sf); PS operator: $rgb/cmy0 \rightarrow rgb_d$ setrgbcolor

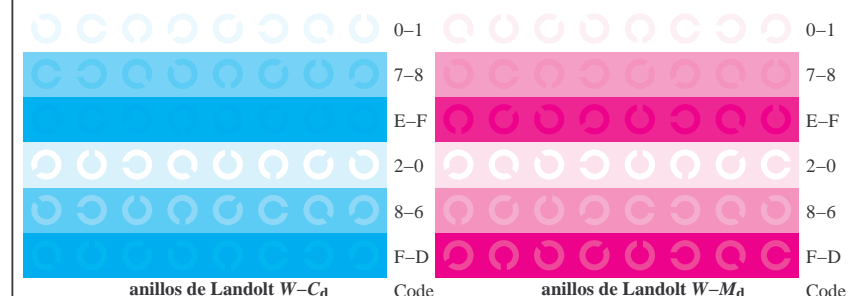
gráfico TS97; 2(ISO/IEC 15775 + ISO/IEC TR 24705)
 test cromático gráfico CMY, 3D=0, de=0, cmy0



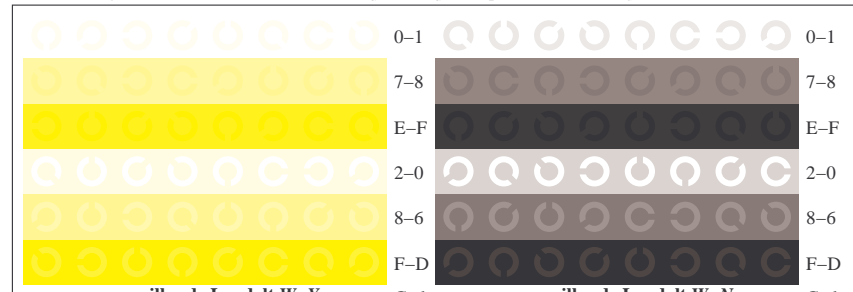
TS971-1, Fig. B4Wd: 16 equidistantes pasos W-Cd; W-Md; W-Yd; W-N; $rgb/cmy0 \rightarrow rgb_d$ setrgbcolor

+:-.	0	1	2	3	4	5	6	7	8	9	A	B	C	D	E	F
xyz;	lmno	pqrs	pqrs	pqrs	pqrs	pqrs	pqrs									
tuvw	hijk	lmno	lmno	lmno	lmno	lmno	lmno									
pqrs	defg	lmno	lmno	lmno	lmno	lmno	lmno									
lmno	!abc	defg	defg	defg	defg	defg	defg									
hijk	xyz;	tuvw	tuvw	tuvw	tuvw	tuvw	tuvw									
defg	pqrs	!abc	!abc	!abc	!abc	!abc	!abc									
!abc	10	N	Cd	Md	Yd	Z					6	N	Cd	Md	Yd	Z

TS971-3, Fig. B5Wd: código y Landolt anillos N; Cd; Md; Yd; Z; PS operator: $rgb \rightarrow rgb_d$ setrgbcolor



TS971-5, Fig. B6Wd: anillos de Landolt W-Cd; W-Md; PS operator: $rgb \rightarrow rgb_d$ setrgbcolor



TS971-7, Fig. B7Wd: anillos de Landolt W-Yd; W-N; PS operator: $rgb \rightarrow rgb_d$ setrgbcolor

entrada: $rgb/cmyk \rightarrow rgb_d$
 salida: transfiere a $cmy0_d$

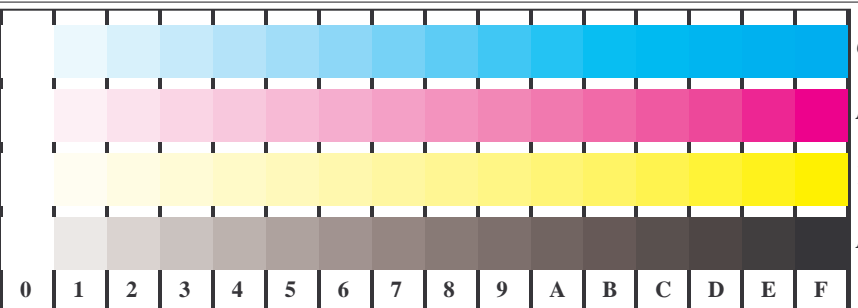


vea archivos semejantes: <http://130.149.60.45/~farbmefrik/TS97/TS97.HTML>
 información técnica: <http://www.ps.bam.de> o <http://130.149.60.45/~farbmefrik>

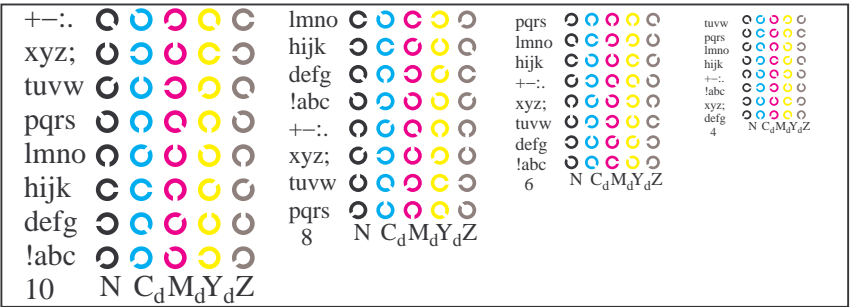


TUB matrícula: 20150701-TS97/TS97L0NP.PDF /PS
 aplicación para la medida salida en la impresión offset, separación cmy0 (CMY0)

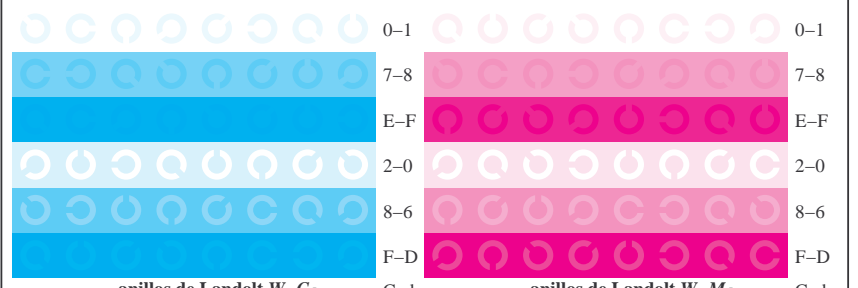
TUB material: code=rha4ta



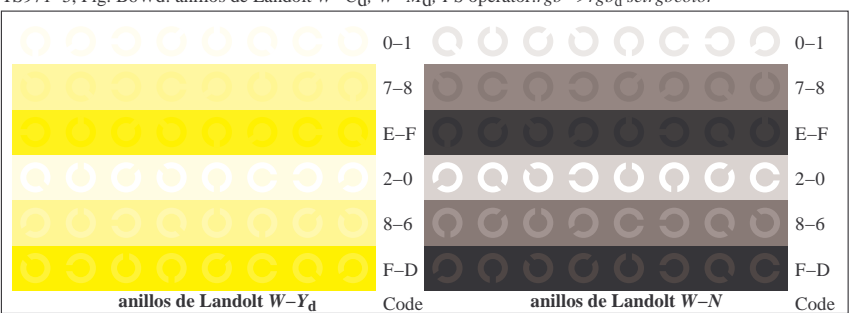
TS971-1, Fig. B4Wd: 16 equidistant pasos $W-C_d$; $W-M_d$; $W-Y_d$; $W-N$; $rgb/cm y 0 \rightarrow rgb_d$ setrgbcolor



TS971-3, Fig. B5Wd: código y Landolt anillos N ; C_d ; M_d ; Y_d ; Z ; PS operator: $rgb \rightarrow rgb_d$ setrgbcolor



TS971-5, Fig. B6Wd: anillos de Landolt $W-C_d$; $W-M_d$; PS operator: $rgb \rightarrow rgb_d$ setrgbcolor

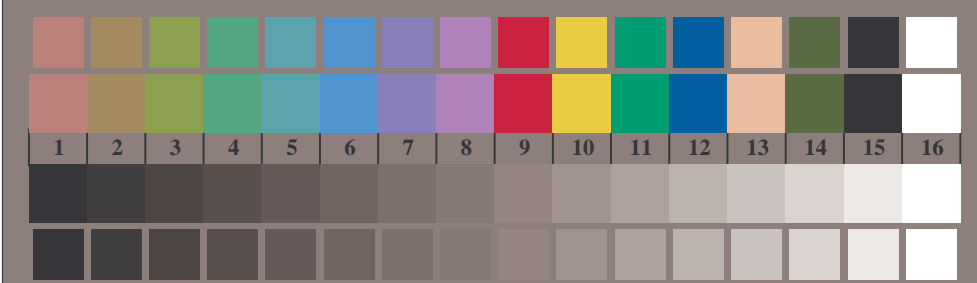


TS971-7, Fig. B7Wd: anillos de Landolt $W-Y_d$; $W-N$; PS operator: $rgb \rightarrow rgb_d$ setrgbcolor



rejillas radial $W-C_d$ rejillas radial $W-M_d$ rejillas radial $W-Y_d$ rejillas radial $W-N$ rejillas radial $W-Z$

TS970-5, Fig. B2Wd: rejillas radial $W-C_d$; $W-M_d$; $W-Y_d$; $W-N$; PS operator: $rgb \rightarrow rgb_d$ setrgbcolor



TS970-7, Fig. B3Wd: CIE 14 colores del test y 2 + 16 pasos de gris (sf); PS operator: $rgb/cm y 0 \rightarrow rgb_d$ setrgbcolor

gráfico TS97; 2(ISO/IEC 15775 + ISO/IEC TR 24705)
 test cromático gráfico CMY, 3D=0, de=0, cm y 0

2-003531-F0

entrada: $rgb/cm y k \rightarrow rgb_d$
 salida: transfiera a $cmy0_d$



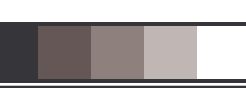
TUB matrícula: 20150701-TS97/TS97L0NP.PDF /PS
aplicación para la medida salida en la impresión offset, separación cmy0 (CMY0)

TUB material: code=rha4ta
TUB material: code=rha4ta

-8

-6

2-0031531-F0



-8

-6

C



-8

M



-8

Y



-8

L



-8

V



-8

O



-8

W



-8

I



-8

E



-8

P



-8

N



-8

B



-8

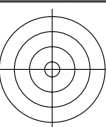
gráfico TS97; 2(ISO/IEC 15775 + ISO/IEC TR 24705)
colores y diferencia en color, ΔE^* , 3D=0, de=0, cmy0

entrada: $rgb/cmyk \rightarrow rgbd$
salida: transfiera a $cmy0_d$

delta $E^* = 3.4$



http://130.149.60.45/~farbmatrik/TS97/TS97L0NP.PDF /PS; salida de transferencia
N: ninguna 3D-linealización (OL) en archivo (F) o PS-startup (S), página 16/22



-8

-8

C

M

Y

O

L

V

-8

6 -8



<i>n</i>	HIC*Fd	rgb_Fd	ict_Fd	hs_Fd	rgb*Fd	LabCh*Fd	rgb*Fd	LabCh*Fd	DE*Fd	hsMd	rgb*Md	LabCh*Md
1053	NW_086d	0.866	0.866	0.866	0.866	0.0	0.866	360	0.866	0.866	0.866	360
1054	NW_093d	0.933	0.933	0.933	0.933	0.0	0.933	360	0.933	0.933	0.933	360
1055	NW_100d	1.0	1.0	1.0	1.0	0.0	1.0	360	1.0	1.0	1.0	360
1056	NW_000d	0.0	0.0	0.0	0.0	0.0	0.0	360	0.0	0.0	0.0	360
1057	NW_006d	0.066	0.066	0.066	0.066	0.0	0.066	360	0.066	0.066	0.066	360
1058	NW_013d	0.133	0.133	0.133	0.133	0.0	0.133	360	0.133	0.133	0.133	360
1059	NW_020d	0.2	0.2	0.2	0.2	0.0	0.2	360	0.2	0.2	0.2	360
1060	NW_026d	0.266	0.266	0.266	0.266	0.0	0.266	360	0.266	0.266	0.266	360
1061	NW_033d	0.333	0.333	0.333	0.333	0.0	0.333	360	0.333	0.333	0.333	360
1062	NW_040d	0.4	0.4	0.4	0.4	0.0	0.4	360	0.4	0.4	0.4	360
1063	NW_046d	0.466	0.466	0.466	0.466	0.0	0.466	360	0.466	0.466	0.466	360
1064	NW_053d	0.533	0.533	0.533	0.533	0.0	0.533	360	0.533	0.533	0.533	360
1065	NW_060d	0.6	0.6	0.6	0.6	0.0	0.6	360	0.6	0.6	0.6	360
1066	NW_066d	0.666	0.666	0.666	0.666	0.0	0.666	360	0.666	0.666	0.666	360
1067	NW_073d	0.734	0.734	0.734	0.734	0.0	0.734	360	0.734	0.734	0.734	360
1068	NW_080d	0.8	0.8	0.8	0.8	0.0	0.8	360	0.8	0.8	0.8	360
1069	NW_086d	0.866	0.866	0.866	0.866	0.0	0.866	360	0.866	0.866	0.866	360
1070	NW_093d	0.933	0.933	0.933	0.933	0.0	0.933	360	0.933	0.933	0.933	360
1071	NW_100d	1.0	1.0	1.0	1.0	0.0	1.0	360	1.0	1.0	1.0	360
1072	NW_000d	0.0	0.0	0.0	0.0	0.0	0.0	360	0.0	0.0	0.0	360
1073	NW_100d	1.0	1.0	1.0	1.0	0.0	1.0	360	1.0	1.0	1.0	360
1074	RO0Y_100_100d	1.0	0.0	0.0	1.0	1.0	0.5	390	1.0	0.0	0.0	45.4
1075	G50B_100_100d	0.0	1.0	1.0	1.0	1.0	0.5	210	0.0	1.0	1.0	56.8
1076	Y00G_100_100d	1.0	1.0	0.0	1.0	1.0	0.5	90	1.0	1.0	0.0	87.8
1077	B00R_100_100d	0.0	0.0	1.0	1.0	1.0	0.5	270	0.0	0.0	1.0	24.7
1078	G00B_100_100d	0.0	1.0	0.0	1.0	1.0	0.5	150	0.0	1.0	0.0	50.0
1079	B50R_100_100d	1.0	0.0	1.0	1.0	1.0	0.5	330	1.0	0.0	1.0	46.1

delta E* = 5.8

2-0032131-F0

TS970-7N, 22/22-F

gráfico TS97; 2(ISO/IEC 15775 + ISO/IEC TR 24705)
colores y diferencia en color, ΔE^* , 3D=0, de=0, cmy0

entrada: $rgb/cmyk \rightarrow rgbd$
salida: transfiera a $cmy0_d$



vea archivos semejantes: http://130.149.60.45/~farbmertik/TS97/TS97.HTM
información técnica: http://www.ps.bam.de o http://130.149.60.45/~farbmertik

